

สำนักหอสมุด มหาวิทยาลัยบูรพา
ต.แสลงสุช อ.เมือง จ.ชลบุรี 20131

ผลของกรด-เบสที่มีต่อปฏิกิริยาในคริฟิเคชั่นในระบบงานกำน้ำด้านน้ำเสียแบบ IFAS

พรพิมล นุชเล็ก

มหาวิทยาลัยบูรพา
Burapha University

23 ๐๗ 2557

343340

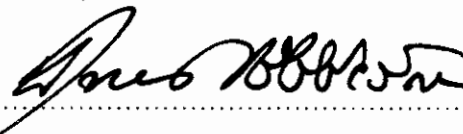
วิทยานิพนธ์นี้เป็นส่วนหนึ่งของการศึกษาตามหลักสูตรวิทยาศาสตรมหาบัณฑิต
สาขาวิชาวิทยาศาสตร์สิ่งแวดล้อม
คณะวิทยาศาสตร์ มหาวิทยาลัยบูรพา

กรกฎาคม 2557

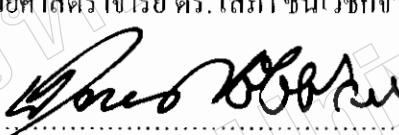
ลิขสิทธิ์เป็นของมหาวิทยาลัยบูรพา

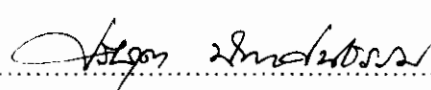
คณะกรรมการควบคุมวิทยานิพนธ์และคณะกรรมการสอบวิทยานิพนธ์ ได้พิจารณา
วิทยานิพนธ์ของ พรพิมล นุชเล็ก ฉบับนี้แล้ว เห็นสมควรรับเป็นส่วนหนึ่งของการศึกษาตาม
หลักสูตรวิทยาศาสตรมหาบัณฑิต สาขาวิชาวิทยาศาสตร์สิ่งแวดล้อม ของมหาวิทยาลัยบูรพาได้

คณะกรรมการควบคุมวิทยานิพนธ์


.....อาจารย์ที่ปรึกษาหลัก
(รองศาสตราจารย์ ดร. นงชัย ศรีวิริยรัตน์)

คณะกรรมการสอบวิทยานิพนธ์


.....ประธาน
(ผู้ช่วยศาสตราจารย์ ดร. โสภา ชินเวชกิจวนิช)

.....กรรมการ
(ผู้ช่วยศาสตราจารย์ ดร. จิตติมา เจริญพานิช)


.....กรรมการ
(ดร.ศรีสุดา นิเทศน์ธรรม)

คณะกรรมการอนุมัติให้รับวิทยานิพนธ์ฉบับนี้เป็นส่วนหนึ่งของการศึกษาตาม
หลักสูตรวิทยาศาสตรมหาบัณฑิต สาขาวิชาวิทยาศาสตร์สิ่งแวดล้อม ของมหาวิทยาลัยบูรพา


.....คอมบดีคณะกรรมการ
(ผู้ช่วยศาสตราจารย์ ดร.อกรรษ ศรีสุข)

วันที่ 29 เดือน มกราคม พ.ศ. 2557

กิตติกรรมประกาศ

วิทยานิพนธ์ฉบับนี้สำเร็จลุล่วงไปได้ด้วยความกรุณาของ รศ. ดร.ธงชัย ศรีวิริยรัตน์ อาจารย์ที่ปรึกษาหลักและประธานกรรมการในการสอนภาคเปล่าวิทยานิพนธ์ที่กรุณาให้คำปรึกษา และคอบทวนท่านข้อมูลพร่องอย่างละเอียดถี่ถ้วนเป็นอย่างดีเสมอมา พร้อมเจ้าหน้าที่ซึ่งต้อง รับภาระเวลาอันมีค่าที่ต้องมาทำงานอกรเวลาในวันหยุดราชการผู้วิจัยจึงขอขอบพระคุณ ไว้เป็นอย่างสูงมา ณ โอกาสนี้ด้วย

พรพิมล นุชเล็ก

52910160: สาขาวิชา: วิทยาศาสตร์สิ่งแวดล้อม; วท.ม. (วิทยาศาสตร์สิ่งแวดล้อม)

คำสำคัญ: IFAS/ กำจัดในโทรศัพท์/ แอคติเวชันส์/ พีเอช/ อนามีนิก

พรพิมล นุชเล็ก : ผลของกรด-แอลแอที่มีต่อปฏิกิริยาในตับพิพิเครชั่นในระบบบำบัดน้ำเสีย

แบบ IFAS (EFFECTS OF pH ON NITRIFICATION IN IFAS WASTEWATER TREATMENT PROCESS) คณฑ์กรรมการควบคุมวิทยานิพนธ์: รองศาสตราจารย์ ศรีวิริรัตน์, Ph.D. 100 หน้า. ปี พ.ศ. 2557.

วัตถุประสงค์ของการศึกษา คือ เพื่อศึกษาผลกระบวนการของความเป็นกรด-เบส (pH) ที่มีต่อปฎิกริยาในตรีฟิล์เมชันในระบบบำบัดน้ำเสียชีวภาพแบบ Integrated Fixed Film Activated Sludge (IFAS) ที่ประกอบไปด้วยจุลินทรีย์ชีวนะกลอยและจุลินทรีย์ในชั้นใบโอดิล์ม การทดลองดำเนินการในระบบบำบัดน้ำเสียขั้นตอนแบบแอคติเวเต็ฟสลัดจ์ที่เรียกว่า Anaerobic/Oxic (A/O) ที่มีการติดตั้งตัวกลางแบบเส้นเชือกที่เรียกว่า Bioweb ในถังเติมอากาศ การทดลองแบ่งเป็น 2 ระยะตามปริมาณสารอินทรีย์และสารประกอบในต่อเงินในน้ำเสียสังเคราะห์ที่ป้อนเข้าสู่ระบบตลอดการทดลอง การทดลองระยะที่ 1 น้ำเสียมีสารอินทรีย์เท่ากับ 400 mg COD/L ปริมาณในต่อเงินมีความเข้มข้น 40 mg N/L การศึกษาดำเนินการโดยใช้ระบบ IFAS จำนวน 2 ระบบ เรียกว่า IFAS 1 และ IFAS 2 ที่ควบคุมค่าพีเอชของน้ำเสียเท่ากับ 7.5 และ 8.5 ตามลำดับ การทดลองระยะที่ 2 น้ำเสียมีสารอินทรีย์ 800 mg COD/L ปริมาณในต่อเงินมีความเข้มข้น 80 mg N/L ศึกษาดำเนินการโดยใช้ระบบบำบัดน้ำเสียจำนวน 4 ระบบ โดยมีระบบที่เป็นระบบแอคติเวเต็ฟสลัดจ์ที่ไม่มีการติดตั้งตัวกลางในถังเติมอากาศ (AS) ซึ่งใช้เป็นชุดควบคุม และระบบ IFAS 1, IFAS 2 และ IFAS 3 ที่มีตัวกลางติดตั้งในถังเติมอากาศ โดยน้ำเสียสังเคราะห์ที่ป้อนเข้าสู่ระบบมี pH เท่ากับ 7.5, 6.5, 7.5 และ 8.5 ตามลำดับ ผลการทดลองระยะที่ 1 พบว่า ระบบบำบัดน้ำเสีย IFAS 1 และ IFAS 2 มีประสิทธิภาพการกำจัดสารอินทรีย์และในต่อเงินใกล้เคียงกัน โดยมีประสิทธิภาพการกำจัดสารอินทรีย์เท่ากับร้อยละ 90.9 และ 90.2 และมีประสิทธิภาพการกำจัดแอนามโนเนียมในต่อเงินเท่ากับร้อยละ 97.6 และ 97.7 ตามลำดับ เมื่อongจากมีมวลรวมของจุลินทรีย์ทั้งที่อยู่ในรูปแขวนกลอยและในชั้นใบโอดิล์มของจุลินทรีย์ซึ่งสูงกว่าค่าอายุสลัดจ์ขั้นต่ำสุดและอุณหภูมิที่ใช้เดินระบบนั้นมีอุณหภูมิสูง น้ำเสียที่มี pH เท่ากับ 8.5 ทำให้ใบโอดิล์มมีโครงสร้างของสารโพลีเมอร์ภายในออกเซลล์ (Extracellular Polymeric Substances, EPS) ที่เกากันหลวมๆ เกิดการหลุดลอกของใบโอดิล์มได้ง่ายกว่าใบโอดิล์มที่เกิดขึ้นในระบบ IFAS 1 ที่ป้อนน้ำเสียที่มี pH เท่ากับ 7.5 ส่งผลให้ปฎิกริยาในตรีฟิล์เมชันส่วนใหญ่เกิดขึ้นโดยจุลินทรีย์แขวนกลอยได้ดี ส่วนผลการทดลองระยะที่ 2 พบว่า ระบบบำบัดน้ำเสีย AS นั้นเกิดปัญหาตะกอนล้อຍอย่างต่อเนื่อง ระบบบำบัดน้ำเสีย AS, IFAS 1, IFAS 2 และ IFAS 3 มี

ประสิทธิภาพการกำจัดสารอินทรีย์ได้ร้อยละ 81.8, 92.3, 96.2 และ 90.2 ตามลำดับ และมีประสิทธิภาพการกำจัดแอมโมเนียมในไตรเจนได้ร้อยละ 100 เพราะมีมวลรวมของจุลินทรีย์ทั้งที่อยู่ในรูปแขวนลอยและในชั้นไบโอดิฟิล์มของจุลินทรีย์ซึ่งสูงกว่าเท่า夷ุสตัตดัจชันต่ำสุดและอยู่ห่างมิที่ใช้เดินระบบน้ำมีอุณหภูมิสูง เช่นเดียวกัน การกำจัดสารประกอบแอมโมเนียมในไตรเจนในระบบ IFAS 1, IFAS 2 และ IFAS 3 นั้นเกิดขึ้นโดยจุลินทรีย์แขวนลอย มีเพียงระบบ IFAS 2 เท่านั้นที่สามารถกำจัดแอมโมเนียมในไตรเจนโดยจุลินทรีย์ในชั้นไบโอดิฟิล์มได้ นอกจากนั้น พนว่า ระบบ IFAS 1, IFAS 2 และ IFAS 3 มีการสะสมของไนโตรทีโนในไตรเจนและมีความเข้มข้นของไนเตรทในไตรเจนน้อยลงตามลำดับ อธิบายได้ว่า เมื่อ pH ของน้ำเสียเพิ่มสูงขึ้น ส่งผลให้เกิดความหนาของชั้นไบโอดิฟิล์มนากขึ้น ส่งผลต่อประสิทธิภาพการแพร่ของออกซิเจนเข้าสู่ชั้นไบโอดิฟิล์มเกิดสภาวะไร้อكسิเจนจึงใช้ไนโตรทีโนในไตรเจนที่เกิดขึ้นในชั้นไบโอดิฟิล์มเป็นตัวรับอิเล็กตรอนแทนออกซิเจนกระบวนการนี้เรียกว่า ANAMMOX ส่งผลให้เกิดการสะสมไนโตรทีโนในไตรเจนต่ำสุดที่ pH เท่ากับ 8.5 และทำให้ไนโตรทีโนในไตรเจนที่เปลี่ยนเป็นไนเตรทในไตรเจนมีปริมาณน้อย ส่งผลให้ความเข้มข้นของไนเตรทในไตรเจนมีความเข้มข้นต่ำสุดในระบบ IFAS 3

52910160: MAJOR : ENVIRONMENTAL SCIENCE; M.Sc.(ENVIRONMENTAL SCIENCE).

KEYWORDS: IFAS/ NITROGEN REMOVAL/ ACTIVATED SLUDGE/ pH/ ANAMMOX

PORNPIMOL NUCHLEK: EFFECTS OF pH ON NITRIFICATION IN IFAS

WASTEWATER TREATMENT PROCESS. ADVISORY COMMITTEE: TONGCHAI

SRIWIRIYARAT, Ph.D. 100 P. 2014.

The objectives of this study was to evaluate the effects of pH on nitrification in the biological wastewater treatment process called Integrated Fixedfilm Activated Sludge (IFAS) consisting of microorganisms in both suspended growth and biofilm. The experiments were conducted in pilot-scale activated sludge wastewater treatment systems integrated with Bioweb media in the aerobic zones. The experiments were also divided into two phases according to the synthetic wastewater characteristics. The wastewaters contained the organic matters and nitrogen in the amounts of 400 mg COD/L and 40 mg N/L, respectively, for the first phase. In this experiments, two IFAS systems called IFAS 1 and IFAS 2 were fed with the wastewaters at the pH values of 7.5 and 8.5, respectively. Subsequently, the wastewater was increased its strength to be 800 mg COD/L and 80 mg N/L in the second phase of experiments. There were four wastewater treatment systems consisting of conventional activated sludge system called AS, which was used as a control system without any media installation and three IFAS systems called IFAS 1, IFAS 2, and IFAS 3. The pH of wastewaters fed into the AS, IFAS 1, IFAS 2, and IFAS 3 systems were 7.5, 6.5, 7.5, and 8.5, respectively. The first phase experimental results showed that both IFAS 1 and IFAS 2 could remove both organic matters and nitrogen equivalently at the COD removal efficiencies of 90.9 and 90.2 and the nitrification of 97.6 and 97.7, respectively. It is because the sludge age was higher than the minium sludge age and the systems were operated at high temperature. At high pH of 8.5, the extracellular polymeric substances (EPS) was loosely structured in the biofilm layer resulting in the easily detachment of biofilm; therefore, nitrifications were mostly accomplished by attached growth microorganisms in IFAS 1, but were significantly obtained by suspended growth microorganisms in IFAS 2. As a result of higher stenght of wastewater characteristics, the filamentous bacteria was over-grown continuously in the AS system resulting in the bulking sludge. The COD removal efficiencies of 81.8, 92.3, 96.2 and 90.2 were achieved in the AS, IFAS 1, IFAS 2 and IFAS 3, respectively. The

nitrification was completed in all systems as the results of both high sludge age and temperature. As a result of optimum pH in IFAS 2 system, the nitrification could be partly accomplished by the microorganisms in the biofilm layer, but were achieved by suspended growth microorganisms in other systems. As the pH increased, the thicker biofilm layer were obtained resulting in the deficiency of oxygen the biofilm; therefore, nitrite nitrogen was used instead as an electron acceptor. The ANaerobic AMMonium OXidation (ANAMMOX) took place in the biofilm generating low accumulation of nitrite nitrogen in the systems. The nitrate nitrogen was also lower at higher pH because nitrite nitrogen was removed by the ANAMMOX process.

สารบัญ

หน้า

| | |
|--|----|
| บทคัดย่อภาษาไทย..... | ๑ |
| บทคัดย่อภาษาอังกฤษ..... | ๑ |
| สารบัญ..... | ๗ |
| สารบัญตาราง..... | ๘ |
| สารบัญภาพ..... | ๙ |
| บทที่ | |
| 1 บทนำ..... | ๑ |
| ความสำคัญและที่มาของงานวิจัย..... | ๑ |
| วัตถุประสงค์ของการวิจัย..... | ๓ |
| ขอบเขตของงานวิจัย | ๓ |
| ตัวแปรที่ใช้ในการศึกษา | ๓ |
| ประโยชน์ที่คาดว่าจะได้รับ..... | ๔ |
| 2 เอกสารและงานวิจัยที่เกี่ยวข้อง..... | ๕ |
| แหล่งที่มาของน้ำเสีย..... | ๕ |
| ลักษณะของน้ำเสีย | ๗ |
| การบำบัดน้ำเสีย | ๑๒ |
| ระบบบำบัดน้ำเสียแบบแอกติเวจเต็คสแลดจ์ | ๑๓ |
| ระบบบำบัดน้ำเสียแบบ Integrated Fixed Film Activated Sludge (IFAS)..... | ๑๖ |
| กลไกการเกิดใบโอดีล์ม..... | ๑๗ |
| สารประกอบภายนอกเซลล์..... | ๑๘ |
| ปัจจัยที่มีผลต่อการเกิดใบโอดีล์ม..... | ๒๐ |
| ปัจจัยที่มีผลต่อการผลิตสารประกอบภายนอกเซลล์..... | ๒๒ |
| 3. วิธีดำเนินการวิจัย..... | ๒๔ |
| ระบบบำบัดน้ำเสียจำลอง..... | ๒๔ |
| รูปแบบการวิจัย | ๒๔ |
| เครื่องมือและอุปกรณ์ที่ใช้ในการทดลอง..... | ๒๖ |
| ลักษณะของน้ำเสียที่ใช้ในการทดลอง | ๒๖ |

สารบัญ (ต่อ)

| บทที่ | หน้า |
|--|------|
| ขั้นตอนการทดลอง | 27 |
| การเก็บตัวอย่างและการวิเคราะห์ตัวอย่างนำเสีย | 36 |
| 4 ผลการทดลองและอภิปรายผล | 38 |
| ประสิทธิภาพการกำจัดสารอินทรีย์และไนตริฟิคชันของการทดลองระดับที่ 1 | 38 |
| ปริมาณจุลินทรีย์แวดล้อมและจุลินทรีย์ในชั้นใบโอลิฟลีมของการทดลองระดับที่ 1 | 39 |
| ผลของ pH ต่อปริมาณ โปรตีนและคาร์บอโนyleic acid จำเพาะของการทดลองระดับที่ 1 | 41 |
| อัตราการกำจัดเอนไซม์ในตอรเจนในระบบ IFAS ของการทดลองระดับที่ 1 | 43 |
| อัตราการเกิดไนโตรฟิทในตอรเจนในระบบ IFAS ของการทดลองระดับที่ 1 | 47 |
| อัตราการเกิดไนเตรฟิทในตอรเจนในระบบ IFAS ของการทดลองระดับที่ 1 | 49 |
| ประสิทธิภาพการกำจัดสารอินทรีย์และไนตริฟิคชันของการทดลองระดับที่ 2 | 52 |
| ปริมาณจุลินทรีย์แวดล้อมและจุลินทรีย์ในชั้นใบโอลิฟลีมของการทดลองระดับที่ 2 | 59 |
| ผลของ pH ต่อปริมาณ โปรตีนและคาร์บอโนyleic acid จำเพาะของการทดลองระดับที่ 2 | 61 |
| อัตราการเก็บเอนไซม์ในตอรเจนในระบบ IFAS ของการทดลองระดับที่ 2 | 65 |
| อัตราการเกิดไนโตรฟิทในตอรเจนในระบบ IFAS ของการทดลองระดับที่ 2 | 66 |
| อัตราการเกิดไนเตรฟิทในตอรเจนในระบบ IFAS ของการทดลองระดับที่ 2 | 70 |
| 5 สรุปผลการทดลอง | 76 |
| สรุปผลการทดลองระดับที่ 1 | 76 |
| สรุปผลการทดลองระดับที่ 2 | 77 |
| บรรณานุกรม | 79 |
| ภาคผนวก | 86 |
| ภาคผนวก ก | 88 |
| ภาคผนวก ข | 89 |
| ประวัติย่อของผู้วิจัย | 100 |

สารบัญตาราง

| ตารางที่ | หน้า |
|--|------|
| 2.1 สมมูลประชากรและลักษณะน้ำเสียชุมชน..... | 6 |
| 3-1 คุณลักษณะของน้ำเสียชุมชนสังเคราะห์ที่ใช้ในการทดลอง..... | 29 |
| 3-2 สารเคมีที่ใช้เตรียมสารอาหารเพิ่มเติมในปริมาตร 1 ลิตร..... | 30 |
| 4-1 ความเข้มข้นของจุลินทรีย์แวดล้อมและจุลินทรีย์ในชั้นใบโอลิฟ์ที่ติดตั้งภายในถังเติม อากาศของทดลองระยะที่ 1 | 44 |
| 4-2 สรุปอัตราการกำจัดแอมโมเนียมในไตรเจน และอัตราการเกิดไนโตรทีนในไตรเจนและ ในเตรทไนโตรเจนของการทดลองระยะที่ 1 | 51 |
| 4-3 ความเข้มข้นของจุลินทรีย์แวดล้อมและจุลินทรีย์ในใบโอลิฟ์ในถังเติมอากาศของ การทดลองระยะที่ 2 | 54 |
| 4-4 สรุปอัตราการกำจัดแอมโมเนียมในไตรเจน และอัตราการเกิดไนโตรทีนในไตรเจน และในเตรทไนโตรเจนของการทดลองระยะที่ 1 | 75 |
| ก.1 ปริมาณสารอินทรีย์บ่งชี้ในรูปซีโอดี 400 mg/L ไม่เติมตัวกลาง..... | 88 |
| ก.2 ปริมาณสารอินทรีย์บ่งชี้ในรูปซีโอดี 400 mg/L เติมตัวกลาง | 89 |
| ก.3 ปริมาณสารอินทรีย์บ่งชี้ในรูปของซีโอดีเท่ากับ 800 mg/L pH ของน้ำเสีย เท่ากับ 7.5 ทุกรอบ | 91 |
| ก.4 ปริมาณสารอินทรีย์บ่งชี้ในรูปของซีโอดีเท่ากับ 800 mg/L pH ของน้ำเสีย เท่ากับ 7.5, 6.5, 7.5 และ 8.5 | 92 |
| ก.5 ปริมาณของแข็งแวดล้อมบ่งชี้ในรูปของ MLSS ที่มีสารอินทรีย์ที่บ่งชี้ในรูปของซีโอดี เท่ากับ 400 mg/L..... | 94 |
| ก.6 ปริมาณของแข็งแวดล้อมบ่งชี้ในรูปของ MLSS ที่มีสารอินทรีย์ที่บ่งชี้ในรูปของซีโอดี เท่ากับ 800 mg/L..... | 95 |
| ก.7 ปริมาณแอมโมเนียม-ในไตรเจน, ในไนโตรทีนในไตรเจนและในเตรทไนโตรเจน ที่มีสารอินทรีย์ที่บ่งชี้ในรูปของซีโอดีเท่ากับ 400 mg/L ไม่มีตัวกลาง | 96 |
| ก.8 ปริมาณแอมโมเนียมในไตรเจน, ในไนโตรทีนในไตรเจนและในเตรทไนโตรเจน ที่มีสารอินทรีย์ที่บ่งชี้ในรูปของซีโอดีเท่ากับ 800 mg/L มีตัวกลาง | 97 |
| ก.9 ปริมาณคาร์บอนไดออกไซด์และโปรตีนที่มีสารอินทรีย์บ่งชี้ในรูปของซีโอดีเท่ากับ 800 mg/L ก่อนปรับค่า pH ของน้ำเสีย | 99 |

สารบัญตาราง (ต่อ)

| ตารางที่ | หน้า |
|--|------|
| ก.10 ปริมาณคาร์บอนไดออกไซด์และโปรตีนที่มีสารอินทรีย์บ่ังชีในรูปของซีโอดี เท่ากับ 800 mg/L หลังปรับค่า pH ของน้ำเสีย | 99 |

สารบัญภาพ

| ภาพที่ | หน้า |
|--|------|
| 2-1 ขั้นโดยย้ำสารอินทรีย์ผ่านเข้าภายในเซลล์ | 14 |
| 2-2 การทำนายการรวมกลุ่มของแบคทีเรียด้วยการสร้างสะพานข้ามโพลีแซคคาไรค์และกฎของประจุบวกในการเก็บน้ำโพลีเมอร์และกิจกรรมในตำแหน่งเกาะของแลคติน | 15 |
| 2-3 ประเภทของสารประกอบภายในอุกเซลล์เมื่อพิจารณาจากสถานะการละลาย | 21 |
| 3-1 ระบบบำบัดน้ำเสียแบบ Anaerobic/Oxic (A/O) | 24 |
| 3-2 แผนผังการทดลองของการทดลองระดับที่ 1 ขั้นตอนที่ 1 | 28 |
| 3-3 ตัวกลาง Bioweb [®] ที่ใช้ในระบบบำบัดน้ำเสีย IFAS 1 และ 2 | 30 |
| 3-4 แผนผังการทดลองของการทดลองระดับที่ 1 ขั้นตอนที่ 2 | 31 |
| 3-5 แผนผังการทดลองของการทดลองระดับที่ 1 ขั้นตอนที่ 3 | 32 |
| 3-6 ชุดอุปกรณ์การทำ Batch Tests | 32 |
| 3-7 แผนผังการทดลองของการทดลองระดับที่ 1 ขั้นตอนที่ 4 | 32 |
| 3-8 แผนผังการทดลองของการทดลองระดับที่ 2 ขั้นตอนที่ 1 | 33 |
| 3-9 แผนผังการทดลองของการทดลองระดับที่ 2 ขั้นตอนที่ 2 | 34 |
| 3-10 แผนผังการทดลองของการทดลองระดับที่ 2 ขั้นตอนที่ 3 | 35 |
| 3-11 แผนผังการทดลองของการทดลองระดับที่ 2 ขั้นตอนที่ 4 | 37 |
| 4-1 การเปลี่ยนแปลงความเข้มข้นของสารอินทรีย์และแอมโมเนียมในโตรเจนของระบบบำบัดน้ำเสีย IFAS 1 และ IFAS 2 | 39 |
| 4-2 การเปลี่ยนแปลงความเข้มข้นของไนโตรฟ์ในโตรเจนและไนเตรฟ์ในโตรเจนของระบบบำบัดน้ำเสีย IFAS 1 และ IFAS 2 | 40 |
| 4-3 ปริมาณโปรตีนจำเพาะและการโน้มไขเครดจำเพาะของไนโตรฟิล์มในระบบ IFAS 1 และ IFAS 2 ของการทดลองระดับที่ 1 | 42 |
| 4-4 อัตราการกำจัดแอมโมเนียมในโตรเจนในระบบ IFAS 1 ที่มี pH ในน้ำเสียเท่ากับ 7.5 | 45 |
| 4-5 อัตราการกำจัดแอมโมเนียมในโตรเจนระบบ IFAS 2 ที่มี pH ในน้ำเสียเท่ากับ 8.5 | 46 |
| 4-6 อัตราการเกิดไนโตรฟ์ในโตรเจนในระบบ IFAS 1 ที่มี pH ในน้ำเสียเท่ากับ 7.5 | 48 |
| 4-7 อัตราการเกิดไนโตรฟ์ในโตรเจนในระบบ IFAS 2 ที่มี pH ในน้ำเสียเท่ากับ 8.5 | 48 |
| 4-8 อัตราการเกิดไนเตรฟ์ในโตรเจนในระบบ IFAS 1 ที่มี pH ในน้ำเสียเท่ากับ 7.5 | 49 |

สารบัญภาพ (ต่อ)

| ภาพที่ | หน้า |
|--|------|
| 4-9 อัตราการเกิดไนเตรฟไนโตรเจนในระบบ IFAS 2 ที่มี pH ในน้ำเสียเท่ากับ 8.5 | 50 |
| 4-10 ความเข้มข้นของสารอินทรีย์ของระบบบำบัดน้ำเสีย AS, IFAS 1, IFAS 2, และ IFAS 3 ของการทดลองระบบที่ 2 เมื่อ pH ของน้ำเสียที่ป้อนเข้าสู่ระบบ เท่ากับ 7.5, 6.5, 7.5 และ 8.5..... | 53 |
| 4-11 ความเข้มข้นของแอมโมเนียมในโตรเจนของระบบบำบัดน้ำเสีย AS, IFAS 1, IFAS 2, และ IFAS 3 ของการทดลองระบบที่ 2 เมื่อ pH ของน้ำเสีย ที่ป้อนเข้าสู่ระบบเท่ากับ 7.5, 6.5, 7.5 และ 8.5 | 56 |
| 4-12 การเปลี่ยนแปลงความเข้มข้นของไนโตรฟไนโตรเจนของระบบบำบัดน้ำเสีย AS, IFAS 1, IFAS 2, และ IFAS 3 ของการทดลองระบบที่ 2 เมื่อ pH ของน้ำเสียที่ป้อนเข้าสู่ระบบเท่ากับ 7.5, 6.5, 7.5 และ 8.5..... | 57 |
| 4-13 การเปลี่ยนแปลงความเข้มข้นของไนเตรฟไนโตรเจนของระบบบำบัดน้ำเสีย AS, IFAS 1, IFAS 2, และ IFAS 3 ของการทดลองระบบที่ 2 เมื่อ pH ของน้ำเสียที่ ป้อนเข้าสู่ระบบเท่ากับ 7.5, 6.5, 7.5 และ 8.5 | 58 |
| 4-14 ความสัมพันธ์ระหว่างแอมโมเนียมอิสระ (Free Ammonia, FA) และกรดไนตรัสอิสระ (Free Nitrous Acid, FNA)..... | 59 |
| 4-15 จุด Isoelectric point ของ EPS และโครงสร้างของ EPS ที่เป็นผลเนื่องจากค่า pH | 61 |
| 4-16 ปริมาณคาร์บอไฮเดรตจำเพาะของจุลินทรีย์ในชั้นใบโพลิเมอร์ตัวกลางที่ติดตั้งใน ถังเติมอากาศของระบบ IFAS 1, IFAS 2 และ IFAS 3 สำหรับการทดลองในระบบที่ 2 ขั้นตอนที่ 2..... | 63 |
| 4-17 ปริมาณโปรตีนจำเพาะของจุลินทรีย์ในชั้นใบโพลิเมอร์ตัวกลางที่ติดตั้งในถังเติมอากาศ ของระบบ IFAS 1, IFAS 2 และ IFAS 3 สำหรับการทดลองในระบบที่ 2 ขั้นตอนที่ 2 ..63 | |
| 4-18 อัตราการกำจัดแอมโมเนียมในโตรเจนในระบบ AS ที่ค่า pH ของน้ำเสียเท่ากับ 7.5..... | 65 |
| 4-19 อัตราการกำจัดแอมโมเนียมในโตรเจนในระบบ IFAS 1 ที่ค่า pH ของน้ำเสียเท่ากับ 6.5 | 65 |
| 4-20 อัตราการกำจัดแอมโมเนียมในโตรเจนในระบบ IFAS 2 ที่มี pH ของน้ำเสียเท่ากับ 7.5..... | 66 |
| 4-21 อัตราการกำจัดแอมโมเนียมในโตรเจนในระบบ IFAS 3 ที่มี pH ของน้ำเสียเท่ากับ 8.5..... | 67 |
| 4-22 อัตราการเกิดไนโตรฟไนโตรเจนในระบบ AS ที่มี pH ของน้ำเสียเท่ากับ 7.5 | 67 |

สารบัญภาพ (ต่อ)

| ภาพที่ | หน้า |
|--|------|
| 4-23 ขั้นตอนการกำจัดในไตรทีนโดยเรagenในระบบ IFAS 1 ที่มี pH ของน้ำเสียเท่ากับ 6.5..... | 68 |
| 4-24 อัตราการกำจัดในไตรทีนโดยเรagenในระบบ IFAS 2 ที่มี pH ของน้ำเสียเท่ากับ 7.5..... | 69 |
| 4-25 อัตราการกำจัดในไตรทีนโดยเรagenในระบบ IFAS 3 ที่มี pH ของน้ำเสียเท่ากับ 8.5..... | 70 |
| 4-26 อัตราการเกิดในเดรทในโตรเรgenในระบบ AS ที่มี pH ของน้ำเสียเท่ากับ 7.5 | 71 |
| 4-27 อัตราการเกิดในเดรทในโตรเรgenในระบบ IFAS 1 ที่มี pH ของน้ำเสียเท่ากับ 6.5..... | 71 |
| 4-28 อัตราการเกิดในเดรทในโตรเรgenในระบบ IFAS 2 ที่มี pH ของน้ำเสียเท่ากับ 7.5..... | 72 |
| 4-29 อัตราการเกิดในเดรทในโตรเรgenในระบบ IFAS 3 ที่มี pH ของน้ำเสียเท่ากับ 8.5..... | 73 |